

1. まきがき

斜張橋の荷重分布形状を調整し、その値を小さくするのに、斜索にプレストレスを導入すれば効果のあることは既に指摘されていふことである。ここではこの点に注目して、プレストレス量の決定方法について考察するが、直脚橋においては死荷重の影響が大きいことを考えて、死荷重に対するプレストレスを対象とする。

2. プレストレス量決定の方針

図-1に示すよろうとBüschel形を例にとるが、斜索は端頭で固定されているものとする。図-2はプレストレスを導入しない場合の曲げモーメント図であるが、中間支承と中央径間中央部で曲げモーメントは大きな値となり、桁全体ではモーメントの変化が著しい。

プレストレスを導入することによって、このようすモーメントの分布状態を改善し、各点の正負のモーメントの絶対値を等しく、かつ最小にすることができる望ましいが、計算の簡便化と図の目的で、次の方針をたてることとする。あらゆる。

- ① 脚A, B, C(図-1)の曲げモーメントを等しく、かつ最小にすれば、
 - ② 他の斜索取付脚のモーメントも、脚A, B, Cのそれと大体等しくあることはできないか。
- このようす方針のもとに斜索に導入あるプレストレスと検討することとする。

3. 解式

斜索に導入あるプレストレス量の垂直方向成分を図-3のように、 $x_1, x_2, x_3, \dots, x_8$ とすれば、斜索取付脚の曲げモーメント M_i は次のように表わされる。

$$M_i = a_i w_d + m_{i2} x_2 + m_{i3} x_3 + m_{i4} x_4 + m_{i5} x_5 + m_{i6} x_6 + m_{i7} x_7 \quad \dots (1)$$

ただし、 w_d : 死荷重強度(死荷重は等分布とする),

a_i : 脚の曲げモーメント影響線の面積,

m_{ij} : 脚に単位荷重が作用する場合の脚に生じる曲げモーメント。

左右対称構造の場合には、 $x_2 = x_7, x_3 = x_6, x_4 = x_5$

であるから、 $m_{i2} + m_{i7} = b_i, m_{i3} + m_{i6} = c_i, m_{i4} + m_{i5} = d_i$ における式(1)は、

$$M_i = a_i w_d + b_i x_2 + c_i x_3 + d_i x_4 \quad \dots (2)$$

いま、プレストレスを導入しない場合(したがつて直線桁)の死荷重による脚8, 9, 10の曲げモーメントを M'_8, M'_9, M'_{10} とすれば、プレストレスの導入によつて、

$$-\frac{M'_8 + M'_9}{2} \quad \dots (3)$$

のモーメントが付加されれば、脚8の曲げモーメントは、 $M_8 = M_{10} = M'_8 - \frac{M'_8 + M'_9}{2} = \frac{M'_8 - M'_9}{2} \dots (4-1)$

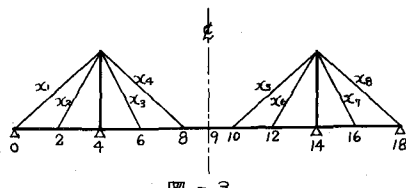
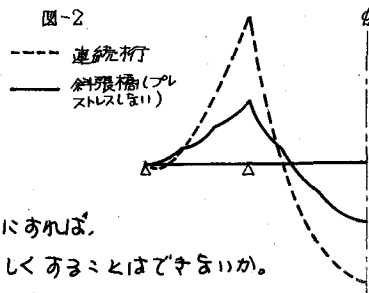
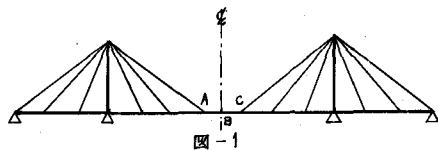


図-3

第9の曲げモーメントは、 $M_9 = M_9' - \frac{M_B + M_9}{2} = -\frac{M_B - M_9}{2}$ (4-2)
 となり、 $|M_B| = |M_9| = |M_{10}|$ と、3点のモーメントの絶対値を等しくあることができる。死荷重を対象とする場合、式(3)は、

$$-\frac{M_B + M_9}{2} = -\frac{\alpha_B + \alpha_9}{2} w_d$$

となるので、第8の曲げモーメント $\varphi(x_2, x_3, x_4)$ は次のようす形で表わされよ。

$$\varphi(x_2, x_3, x_4) = (m_{82} + m_{87})x_2 + (m_{83} + m_{86})x_3 + (m_{84} + m_{85})x_4 + (\alpha_B + \alpha_9)w_d/2 = 0$$
 (5)

また、任意点の曲げモーメントを

$$f(x_2, x_3, x_4) \quad \dots \dots \quad (6)$$

とすれば、プレストレス量の決定は、式(5)の条件のもとで、式(6)を最小にする x_2, x_3, x_4 を求める最小値問題に帰着し、板厚的には Lagrange の未定乗数法を適用すればよいこととなる。すみやかに、

$$\left. \begin{aligned} \frac{\partial f}{\partial x_2} + \lambda \frac{\partial \varphi}{\partial x_2} &= 0 \\ \frac{\partial f}{\partial x_3} + \lambda \frac{\partial \varphi}{\partial x_3} &= 0 \\ \frac{\partial f}{\partial x_4} + \lambda \frac{\partial \varphi}{\partial x_4} &= 0 \end{aligned} \right\} \quad (7)$$

λ: Lagrange の乗数

4 敷値計算例

図-3 の斜張橋と例にとって、上記を敷値的に検討する。

まず、材料に関する値は表-1を使用し、死荷重強度は

は $3t/m$ とする。なお、この場合の M_B および M_9 は

それぞれ $648.60, 1248.48 t \cdot m$ となるので、プレ

ストレスによる付加モーメントは式(3)により、

$$-\frac{648.60 + 1248.48}{2} = -948.54 t \cdot m$$

剛性係数としては、

$$\varphi(x_2, x_3, x_4) = 0.902x_2 - 0.164x_3 - 8.728x_4 + 948.54 = 0 \quad \text{となる。}$$

これと式(7)を用いれば、

$$x_2 = 129.07t, \quad x_3 = 122.69t, \quad x_4 = 119.71t$$

を求めることができる。

図-4は、この場合の曲げモーメント図であるが、

これによれば、先の2の①、②の目的は達せられるよ

うである。他の形式についても同様の傾向にあるが、別の機会に取りまとめ

を報告する。

上記は、東大院生福永明氏の方々をいただいた。全く謝意を表す次第である。なお、以上は筆者がかつて下記文献で述べたことと一般化し發展をさせすべく検討をすすめていけるもの的一部であることを付記する。

参考文献、山本・鶴田・ハ谷、斜張橋の構造解析、Mitsubishi Technical Bulletin, MTB020034

表-1

	スパン	m	$80 + 200 + 80$
主桁	断面2次モーメント	m^4	0.2
	ヤング係数	t/m^2	2.1×10^7
主塔	断面2次モーメント	m^4	0.02
	ヤング係数	t/m^2	2.1×10^7
ケーブル	断面積	m^2	0.01
	ヤング係数	t/m^2	1.6×10^7

